



دراسة عملية لتأثير تثقيب الزعانف على الأداء الحراري لأنابيب المزعنة حلزونيا

Dr. Ikhlae M.Fayed
Mech.Eng.Department
University of Technology

Dr. Ihsan Y.Hussain
Mech.Eng.Department
University of Baghdad

Dr. Hanna Abdul Hadi
Mech.Eng.Department
University of Technology

Sahra Hassan Ibrahim
Mech.Eng.Department
University of Technology

الخلاصة

تناول البحث دراسة عملية لتأثير تثقيب الزعانف على الأداء ولقد ثمت الدراسة على خمسة نماذج من الأنابيب بقطر (18mm) ومزعنة حلزونيا بزعانف بارتفاع (12mm) متنبة من منتصفها بثقوب دائريّة بعده (3,3,6,2 hole / fin) قطر (3,3,6,2mm) على التوالي حيث تم اختبار كل أنبوب أفقيا عند تعرضه لماء بسرعة قصوى تتراوح بين (1.5-7.5 m/s) ولدى من أعداد رينولد يتراوح بين ($105.7 \times 10^3 - 21.15 \times 10^3$) وقد درس تأثير تغيير قطر الثقوب لعدد ثابت من الثقوب (3) في كل زعنة وتأثير تغيير عدد الثقوب لقطر ثابت (3mm) على الأداء. وأظهرت النتائج العملية أن عملية تثقيب الزعانف تؤدي إلى زيادة معامل انتقال الحرارة الإجمالي ولجميع الأنابيب المتنبة ولكن نسبة الزيادة تختلف من أنبوب إلى آخر، و من مقارنة معامل انتقال الحرارة الإجمالي لأنبوب مثقب (بقطار ثقب (3 mm hole/fin), (3mm)) مع أنبوب غير مثقب للزعانف وجد انه يزداد بنسبة (4.5m/s) وهذه النسبة تستمر بالزيادة لتصل إلى (36%) عند السرعة (7.5 m/s) وعند (12.3%) عند السرعة (4.5m/s) مقارنة أنبوبين متماثلين بأبعاد الزعانف وبعدد الثقوب في كل زعنة (3 hole/fin) أن الأنبوب المثقب بقطار صغير (2mm) أفضل من الآخر المثقب بقطار (3mm) بنسبة (28%) عند السرعة (7.5 m/s) وانه لقطر ثابت للثقوب (3mm) تؤدي زيادة عدد الثقوب من (2) إلى (3) إلى تحسين معامل انتقال الحرارة الإجمالي بنسبة (7.8%) لسرعة (7.5 m/s) كذلك زيادة عدد الثقوب تزيد من معامل انتقال الحرارة الإجمالي أكثر من زيادة قطر الثقوب لمساحة سطحية ثابتة للزعانف (الحالة البحث).

EXPERIMENTAL STUDY OF FINS PERFORATION EFFECT ON THERMAL PERFORMANCE OF HELICALLY FINNED TUBES

ABSTRACT

The present research includes an experimental study for the effect of fins perforation on the performance of helically finned tubes. The experiments were made on five models of (18 mm) diameter tubes finned spirally with (12mm) high fins perforated with a circular holes , the number of holes was (3-3-6&2 hole /fin) and their diameters were (3,4,2&3mm) respectively .Each tube was tests horizontally by forcing air with(1.5-7.5 m/s) maximum velocity and Reynolds number range ($21.15 \times 10^3 - 105.7 \times 10^3$) on the tube .The effect of number and diameter of holes were studied.The experimental results showed that the fins perforation increase the overall heat transfer coefficient for all perforated fins tubes, but the percentage increase differs from tube to another. From the comparison of overall heat transfer coefficient for perforated finned tube ((3 hole/fin), (3mm) hole diameter) with unperforated finned tube found that it is increased to (12.3%) at air velocity (4.5m/s), this percentage continue with increasing until to reach (36%) at (7.5 m/s). It is found that for two tubes with same fins dimensions and same number of holes (3 hole/fin), the tube with smaller hole (2mm) is better than that of the larger hole (3mm) by (28%) at (7.5 m/s) maximum air velocity, the increase of the number of holes from (2) to (3) for constant hole diameter (3mm) improves the overall heat transfer coefficient by (7.8%) at (7.5 m/s) maximum air velocity .So the increasing of holes number increase the overall heat transfer coefficient more than the increasing of holes diameter for constant fins surface area (for research case).

KEYWORDS: Fins Perforation, Finned Tubes, Helical, Thermal Performance

المقدمة

نظراً لأهمية المبادلات الحرارية ولكثره استخدامها بدأ التوجه نحو تحسين الأداء الحراري والهيدروليكي لهذه المبادلات الحرارية وقد تم التوصل إلى عدة وسائل لتحسين الأداء ومنها السطوح الممتدة أو الزعانف وتخسين السطح ووسائل تحريك المائع وحزنة جريان المائع ووسائل الشد السطحي وإضافة مواد محسنة للخواص الحرارية للسوائل وإضافة مواد محسنة للخواص الحرارية للغازات وعملية اهتزاز السطح وغيرها. تعنى الدراسة الحالية بالأنباب المزعنفة خارجياً التي تستخدم عادة عندما يكون معامل انتقال الحرارة لاحد المائعين أكبر بكثير من المائع الآخر، كما هو الحال في انتقال الحرارة بين الماء ذو معامل انتقال حرارة عالي تقريباً والهواء (Kakak, et.al 1981) ، (Bell and Mueller 2001) . قام الباحث (Abdullah,2000) بدراسة نظرية لتأثير الثقب على الأداء الحراري للزعانف في حالة انتقال الحرارة بالحمل الحر من سطح زعنفة وقد درس أربعة أنواع من التقويب الدائري والمربع والمثلث متتساوي الأضلاع والمستطيل. وتم التحليل الرياضي لانتقال الحرارة في الزعنفة المتقبة بالاعتماد



على النموذجين أحادي البعد وثنائي البعد وقد قام بحل المعادلات التفاضلية بطريقة العناصر المحددة. ووجد أن التقريب قد يؤدي إلى تحسين انتقال الحرارة أو تقليله حسب شكل الثقب وبسمك المزعنفة ومعدن الزعاف.

ولقد قدم الباحث (Zozuly & Khavin, 1973) دراسة عملية لتأثير اضطراب المائع على الأداء الحراري لحزمة من الأنابيب المزعنفة حلزونياً والمرتبة بشكل متلاقي في حالة جريان الهواء عمودياً عليها ووجد أن الأداء يتحسن مع زيادة الاضطراب للمائع وكما قارن بين معامل انتقال الحرارة للصفوف المختلفة في الحزمة وقد أجرى تجاربه على حزمة من ستة صفوف من الأنابيب المزعنفة بقطر (22mm) وبارتفاع زعاف (8mm) وبسمك (0.8mm) وبسرعة هواء تتراوح بين (15-5 m/s).

لقد قام الباحثان (Katz & Beatty, 1945) بدراسة عملية لانتقال الحرارة من مجموعة أنابيب ذات زعاف حلزونية المصنوعة من أصل المعدن وهذه الأنابيب تتضمن عدد زعاف يتراوح بين (157.5-945) fin/m وبارتفاع زعاف يتراوح بين (1.27-9.652 mm) وقد أجرى مجموعة من القياسات أو البيانات لتقييم أداء هذه الأنابيب مستخدماً البخار والهواء والماء كموائع للعمل وقد قام بمقارنة بين النتائج التي حصل عليها ووضع علاقة نظرية لمعامل انتقال الحرارة الإجمالي وقد قارن بين أداء الأنابيب المزعنفة والأنابيب الغير المزعنفة في حالة تعرضها إلى نفس ظروف العمل.

لذلك تتناول البحث الحالي دراسة انتقال الحرارة بالحمل القسري من أنابيب مزعنفة حلزونياً منفردة أفقية عند جريان الهواء عمودياً عليها. وتتضمن الدراسة الحالية ايجاد معامل انتقال الحرارة الإجمالي لقيم مختلفة من سرعة الهواء ولخمسة نماذج من الأنابيب ذات الزعاف المتباينة بتقويب دائري لغرض دراسة تأثير عدد وأقطار التقويب على الأداء الحراري لهذه الأنابيب.

جهاز الاختبار العلمي (Experimental Test Rig)

لقد أجريت التجارب العملية على جهاز اختباري يتكون من الأجزاء التالية كما مبين في الشكل (1):

- 1 دافعة هواء (Blower) أحادية الطور متغيرة السرعة.
- 2 مجرب هوائي مستطيل المقطع.
- 3 مسخن حراري (مصنع محلياً) لتسخين الماء إلى درجة الحرارة المطلوبة.
- 4 خزان لتجهيز الماء بتدفق ثابت.
- 5 مواد عازلة مثل الصوف الزجاجي والفاللين لتقليل كمية الحرارة المنقلة إلى المحيط من سطح المسخن الحراري.

6- مزدوجات حرارية من النوع (T) ومحار زئبقي لقياس درجة حرارة الماء والهواء الداخل والخارج .

7- ساعة توقيت يدوية

8- دورق زجاجي مدرج لقياس حجم الماء المتذفق.

لقد صنع مجراي هوائي من الخشب المضغوط بطول (3.5 m) وبسمك (1.5cm)، وهذا المجراي ذات مقطع مستطيل (80 cm × 12.6 cm) ونظراً لعدم توفر خشب بهذه الأبعاد تم تصنيع المجراي من جزأين الأول بطول (2m) والثاني بطول (1.5 m) وقد تم ربطهما بأحكام باستخدام السيليكون كمادة لاصقة، وقد تم تصنيع آلية لتبديل الأنابيب في أحد جوانب الجزء الثاني حيث فتحت فيه بوابة بطول (60 cm) وثبتت من مركزها بتقب يساوي قطر الأنابيب الخارجي .

لغرض ربط المجراي الهوائي المستطيل المقطع مع مضخة الهواء الدائرية ذات قطر (12cm) ثم تصنيع ناشر لربط الجزأين من الصفائح المغلونة الخفيفة سماكة (1mm) وطول (1m) وذات مقطع مستطيل تكون مساحة مقطع الدخول (12 cm × 12cm) ومساحة الخروج (12.6 cm × 80cm)، ولضمان انتظام تيار الهواء القادم من المضخة تم وضع مشبك (screen) في بداية الناشر .

لتجميع الأنابيب المزعنفة موضوع البحث فقد تم استخدام مادة (Carbon steel 0.5% C) لتصنيع الأنابيب أما الزعانف فصنعت من (Nickel steel 0 % Ni) نظراً لتوفرها لدى شركة المعدات الثقيلة (الجهة المصنعة) وقد اختيرت مادة الزعانف بحيث يتاسب مع طريقة تصنيع الأنابيب حيث تم استخدام شريط معدني عرض (12mm) وبطول (22 m) وبسمك (0.3mm) من المادة المذكورة وبعد إجراء عملية التثقب بواسطة مثقب ذو مكبس عمودي وقوالب التقب المطلوب تم تشكيل الشريط لجعله متوجهاً بواسطة ماكينة تصنيع الأنابيب ليتخذ شكلًا قابلاً للإحاطة بأنبوب وتم عملية التصنيع بشد الشريط بعد لحام بدايته على الأنابيب بالأوكسجين وعند تحويل الأنابيب على محور ثابت باستخدام قالب الخاص بالخطوة المطلوبة (5mm) بين الزعانف تم لحام النهاية بنفس الطريقة السابقة وقد تم تصنيع الأنابيب الخمسة بالطريقة السابقة حيث أختلف أنابيب عن الآخر بعدد قطر التقوب في الزعانف كما مبين في الجدول (1) الأنابيب الخمسة بطول (1m) وبقطر خارجي (18.375mm) وقطر داخلي (16mm) وبطول مزعنف (78cm) وبعدد زعانف (5 fin/in) والشكل (2) يوضح الأنابيب وترتيب التقوب في الزعانف.

الجدول (1) مواصفات وأبعاد الأنابيب المصنعة



Tube No.	Fin/in	Hole NO.	Hole Dia.(mm)	dr (mm)	do (mm)	Lf (mm)	T (mm)
1	5	-	-	18	42	12	0.3
2	5	6	2	18	42	12	0.3
3	5	3	3	18	42	12	0.3
4	5	2	3	18	42	12	0.3
5	5	3	4	18	42	12	0.3

- لغرض توفير الماء بدرجة الحرارة المطلوبة للدخول إلى الأنابيب تم تصنيع (مسخن حراري) محلي من النحاس النقى . وهو عبارة عن مبادل حراري مزدوج الأنابيب حيث يتكون من أنبوبين من النحاس النقى الأنابيب الداخلى بقطر داخلى(50mm) وقطر خارجي(54mm) وبسمك حوالي(2mm) وأنبوب خارجي بقطر داخلى(63mm) وقطر خارجي(65mm) وبسمك حوالي(1mm) كل منها بطول(1m) يحوى بداخله على سلك حراري ذي قدرة 5.56kW(5.56kW) كما هو متوفى محليا وقد تم تثبيت زعانف باللحام الكهربائي على القطر الخارجي لأنبوب الداخلى مما يزيد المساحة السطحية لانتقال الحرارة واضطراب الماء داخل المبادل . إن هذه الزعانف الحلوونية مصنوعة من شريط نحاسي بارتفاع(4.5mm) مثبتة عن طريق الشد باستخدام قالب معدنى خاص على الأنابيب الداخلى ثم لحمت حيث تنتقل الحرارة بالحمل من السلك الحراري وعبر الأنابيب الداخلى بالتوصيل ومنه بالحمل إلى الماء . قد تم استخدام مقاومة متغيرة (30A) لغرض التحكم بالتيار المار خلال سلك المسخن أولا ثم بكمية الحرارة المتولدة فيه ودرجة حرارة الماء الخارج كما في الشكل(3).

لقد تم استخدام العديد من اجهزة القياس منها أحجهزة قياس درجة الحرارة تم استخدام مزدوج حراري من نوع نحاس - كونستنات (Copper- Constantan) المعروف بنوع(T-type) لقياس درجات الحرارة ويعمل راس المزدوج الحراري الذي هو الجزء الحساس لدرجة الحرارة (Thermocouple Junction) على هيئة اتصال كروي (Spherical Junction) بقطر (0.5mm) وقد تم توصيل المزدوجات الحرارية إلى صندوق توزيع اختباري ومنه إلى المحرار الرقمي (Digital Electronic Thermometer) بواسطة أسلاك توصيل (Compensation wires) وقد دعت الحاجة إلى استخدام مزدوجات حرارية عدد(9) بالإضافة إلى محرار زئبقي وقد وزعت كآلاتي:-

- 1- قياس درجة حرارة الماء في كل من نقطة الدخول والخروج من الأنابيب المزعنف
- 2- قياس درجة حرارة الهواء الداخل في نقطة تقع في بداية المجرى الهوائي .
- 3- قياس درجة حرارة الهواء الخارج ولقد تم اختيار ثلاثة مواقع على طول المجرى الهوائي لغرض تحديد المكان الأفضل لوضع المزدوجات الحرارية اللازمة لقياس درجة حرارة الهواء الخارجي وهي على بعد cm 30 و 40cm و 50cm من محور

الأنبوب المزعنف وقد اختير الموقع 40cm لكونه متوسط هذين الموقعين تقريباً كما لوحظ من الاختبارات الأولية أن درجة الحرارة تتغير بالاتجاه العمودي على محور المجرى مما دعا إلى استعمال خمسة مزدوجات حرارية لقياس درجة حرارة الهواء وكانت درجة حرارة الهواء الخارج هي معدل هذه الدرجات وقد وضع مزدوجان على عمق (3cm) كما وضع مزدوجان على عمق (5cm) ومزدوج واحد على عمق (6cm).

ويحسب معدل التدفق الحجمي من خلال قياس الزمن اللازم لتدفق حجم معين من الماء وقد استخدم دورق زجاجي مدرج بحجم ml 500 وساعة توقيت يدوية، وتم قياس سرعة الهواء بتوصيل أنبوية بيتوت (Pitot – Static tube) إلى مايكرومانيومتر رقمي لعرض قياس الفرق بين الضغط السكوني والضغط الكلي بوحدات (mmH₂O) وقد وضعت في مواجهة الجريان وعلى بعد (20cm) من محور الأنابيب المزعنف وفي مركز المجرى الهوائي وقد تم الاعتماد على العلاقة الديناميكية التالية لحساب سرعة الهواء عند الضغط الجوي الاعتيادي.

$$\begin{aligned} p_{\text{tot}} - p_{\text{static}} &= 0.5 \rho_a V_a^2 \\ \left(\frac{H_{\text{tot}} - H_{\text{static}}}{1000} \right) \rho_w g &= 0.5 \rho_a V_a^2 \\ V_a &= 4.42945 \sqrt{\frac{\Delta H(\text{mm})}{\rho_a}} \quad (\text{m/s}) \end{aligned}$$

1. حساب معدل تدفق الماء خلال أنبوب الاختبار.

$$m_{\text{wat}} = \frac{\text{VOL}_{\text{wat}}}{\text{time}} \times \rho_{\text{wat}}$$

كل الخواص الماء عند متوسط درجة حرارته

$$t_{\text{watm}} = \frac{t_{\text{wat1}} + t_{\text{wat2}}}{2}$$

2. حساب كمية الحرارة المفقودة من الماء خلال التبريد في الأنابيب المزعنف.

$$q_{\text{wat}} = m_{\text{wat}} c p_{\text{wat}} (t_{\text{wat1}} - t_{\text{wat2}})$$

3. حساب كمية الحرارة المنقلة خلال الأنابيب.



$$q = U_o A_o LMTD$$

حيث أن

$$LMTD = \frac{(T_{wat2} - T_{a1}) - (T_{wat1} - T_{a2})}{\ln \left(\frac{(T_{wat2} - T_{a1})}{(T_{wat1} - T_{a2})} \right)}$$

$$A_o = ((\pi \times (d_o^2 - d_r^2) N_F) + (\pi \times do \times N_F \times t_F) + \pi \times P_F \times d_r \times N_F) L \\ + \pi \times nh \times t_F \times dh - 2((\pi \times dh^2)/4) \times nh \times N_F$$

4. حساب معامل انتقال الحرارة الإجمالي . (بفرض عدم وجود تسرب حرارة من الأنابيب إلى الجهاز أو المحيط الخارج) .

$$q = q_{wat}$$

$$U_o = \frac{q_{wat}}{A_o \times LMTD}$$

5. حساب معامل انتقال الحرارة لجانب الماء

$$h_i = \frac{k}{d_i} * 0.023 Re_{wat}^{0.8} Pr_{wat}^{0.33}$$

6. حساب معامل انتقال الحرارة لجانب الهواء وبإهمال مقاومة الاتساع للجانبين .

التجارب العملية

لقد تم إجراء نوعين من التجارب في البحث التالي:-

أولاً-تجارب أولية : الغرض منها التعرف على دقة أجهزة القياس وأيضاً معايرة الأجهزة.

ثانياً-تجارب نهائية: شملت قياس درجات الحرارة للهواء الداخل والخارج والماء الداخل والخارج ومعدل تدفق الماء من الأنابيب ولخمسة سرعات للهواء هي (1,2,3,4,5 m/s). شملت التجارب على دراسة

I- تأثير تنقيب الزعاف على الأداء الحراري لأنبوب مزعنف حلزونيا.

II- تغير عدد التقوب على الأداء الحراري لأنبوب مزعنف حلزونيا.

III- تغير قطر التقوب على الأداء الحراري لأنبوب مزعنف حلزونيا.

وقد كانت هذه الدراسة ضمن برنامج تبعاً للخطوات التالية:-

- تشغيل دافعة الهواء على السرعة الأولى (1 m/s).
- السماح للماء بالسريان خلال جهاز الاختبار عن طريق فتح صمام خزان الماء كما في الشكل .(1).
- تشغيل المسخن الحراري والتحكم بالمقاومة المتغيرة بتغير فرق الجهد عبر ملف المسخن بعد تثبيت درجة حرارة خروج الماء من المسخن الحراري على درجة الحرارة المطلوبة 50°C والانتظار لمدة 60 دقيقة .
- بعد الوصول إلى حالة الاستقرار بعد حوالي (60) دقيقة تقريباً يتم اخذ القراءات المطلوبة الخاصة بكل أنبوب .
- تغيير سرعة دفع الهواء ثم الانتظار ثم الوصول إلى حالة الاستقرار واخذ قراءة أخرى وهكذا لخمسة سرع مختلفة.
- تغيير الأنابيب وإعادة الخطوات (1-5) لكل أنبوب.

مناقشة النتائج

تناولت الدراسة العملية دراسة الأداء الحراري لأنبوب مزعنف حلوانيا بزعانف (متقبة وغير متقبة) كما درس أيضاً تأثير تغيير عدد قطر التقوب للزعانف على معامل الانتقال الحراري الإجمالي ، يبين الشكل (4) مقارنة الأداء الحراري لأنبوب الثالث ذا زعانف متقبة (قطر 3 mm وعدد 3 تقوب) وأخر ذا زعانف غير المتقبة لحالة تغيير سرعة الهواء إذ تؤدي زيادة سرعة الهواء إلى زيادة معامل انتقال الحرارة الإجمالي لكلا الأنبوبيين ، ولكن الفرق في نسبة الزيادة يكون معادوم في السرعة الواطئة $(1.5-3.5 \text{ m/s})$ ويزيد الفرق في السرعة العالية $(3-7.5 \text{ m/s})$ إذ تكون نسبة الزيادة لأنبوب المزعنف المتقب (35.6%) بينما تكون النسبة لأنبوب المزعنف غير المتقب (25.9%) وبالرغم من نقصان المساحة السطحية لانتقال الحرارة فإن زيادة الاضطرابية الناتجة من تثقيب الزعانف مما يساعد على إعادة تكوين الطبقة المتاخمة الحرارية مما يزيد من معامل انتقال الحرارة الإجمالي، أما تأثير تغيير عدد التقوب على الأداء الحراري لقطر ثقب ثابت فيمكن ملاحظته في الشكل (5) إذ تم مقارنة أنبوبيين الثالث والرابع (ثقوب الزعانف متماثلة بالقطر لكلا الأنبوبيين ولكنها مختلفة في العدد) ، لوحظ أن الأنابيب الرابع ذات العدد (2) تعطي زيادة طفيفة في معامل انتقال الحرارة الإجمالي بنسبة (31.6%) أما ذا العدد (3) بنسبة (35.6%) لمدى من سرعة هواء قصوى (7.5 m/s) ، ويبين الشكل (6) تأثير تغيير قطر التقوب على الأداء الحراري لمدى من السرعة الماء ($1.5 \text{ m/s} - 7.5 \text{ m/s}$) حيث قرون الأنبوب الثالث



(قطر 3mm) وعدد (3) ثقوب) مع أنبوب الخامس (قطر 4mm) وعدد (3) ثقوب) ولوحظ أن زيادة سرعة الهواء القصوى (1.5-7.5 m/s) تسبب زيادة ملحوظة في معامل انتقال الحرارة الإجمالي للأنبوب الخامس بنسبة (46%) والأنبوب الثالث بنسبة (52%) والناتج عنه زيادة كل من المساحة السطحية للزعانف (الناتج من قطر الثقب القليل) الأضطرابية .

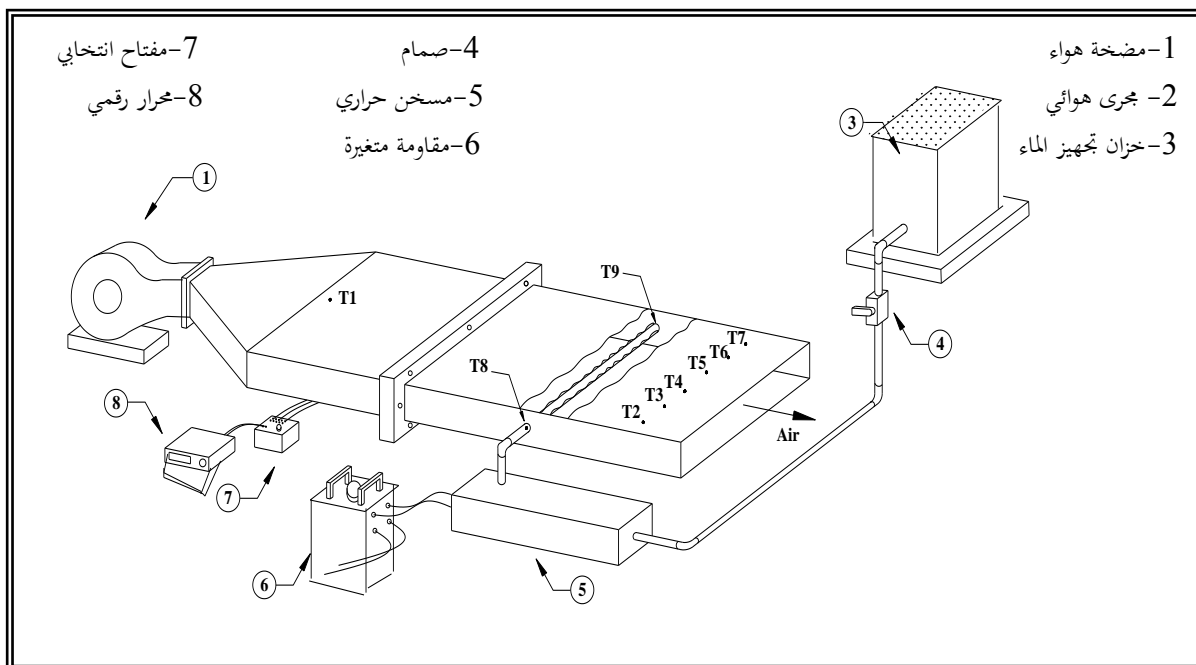
لقد فورن الأنابيب الثاني (قطر 2mm) وعدد (6) ثقوب) مع الأنابيب الثالث (قطر 3mm) وعدد (3) ثقوب) لكونهما متساويان تقريبا في المساحة السطحية الكلية للزعانف. ولوحظ أن معامل انتقال الحرارة الإجمالي يزداد لمدى سرعة الهواء من 1.5-7.5m/s للأنبوب الثاني بنسبة (49.4%) أما الثالث بنسبة (52%) ولكن معامل انتقال الحرارة الإجمالي للأنبوب الثاني عالي حتى للسرعة الواطئة أقل من (3.5m/s) كما في الشكل (7) إذ انه يزداد بنسبة (20.9%) عند السرعة (1.5 m/s) مقابل (14.3%) عند السرعة (7.5 m/s) عنه للأنبوب الثالث فهو افضل الأنابيب من حيث الأداء الحراري كما في الشكل (8)، ويعزى سبب ذلك إلى أولاً الأضطرابات العالية الحاصلة للجريان في الأنابيب الثاني ونظرًا لاعتبار الجريان موازي للثقوب فإن الضغط على جانبي الزعنفة متساوي لهذا لا يتولد جريان ثانوي ولكن في الحقيقة يحصل انحراف لمستوى الثقوب عن مستوى جريان المائع (نتيجة التصنيع) مما يسبب اختلاف الضغط على جانبي الثقوب والمؤدي إلى جريان ثانوي علاوة على تعرض الزعنفة إلى تشوهات سطحية (التموجات) والتي أدت إلى عدم وجود مستوى ثابت للزعانفة وقد تم الحصول على عدد من العلاقات التجريبية بين معامل انتقال الإجمالي وسرعة الهواء القصوى لجميع الأنابيب وكما مبينة في الجدول (2) .

أن الأنابيب متشابه من حيث مادة التصنيع وأبعاد الزعنف وبما أن التدفق للماء الساخن كان تقريبا ثابتا خلال التجربة فإن أي زيادة في معامل انتقال الحرارة الإجمالي تكون ناتجة عن زيادة معامل انتقال الحرارة جانب الهواء.

وتم الوصول إلى عدد من الاستنتاجات

- إن معامل انتقال الحرارة الإجمالي للأنبيب المتقطبة الزعنف أعلى من غير المتقطبة فهو للأنبوب الثالث يزداد بنسبة (36%) عن قيمته للأنبوب الغير متقطب عند السرعة (7.5m/s).
- إن تحسين معامل انتقال الحرارة الإجمالي للأنبوب المتقطب يتأثر كثيرا بسرعة هواء التبريد حيث يتحسن مع زيادة سرعة الهواء وبنسبة أعلى من غير المتقطب .
- إن تقليل قطر الثقب من (4 mm) إلى (3 mm) ولعدد ثابت (3) من الثقوب تؤدي إلى معامل انتقال حرارة أعلى بنسبة (28.9%) عند السرعة (7.5 m/s) لذلك فإن الأقطار الصغيرة للثقب هي الأفضل .

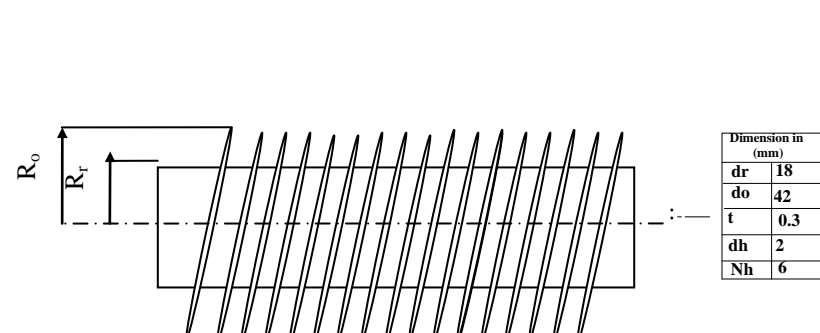
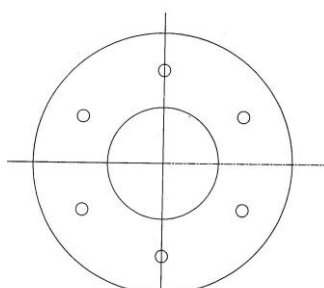
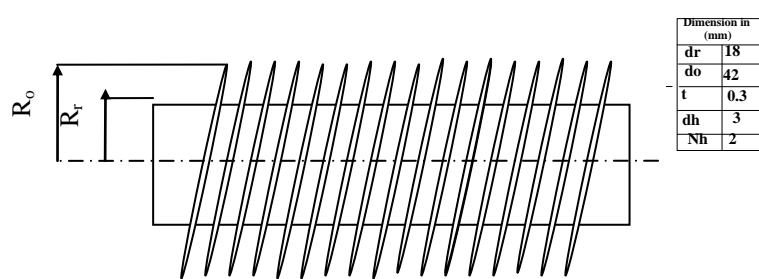
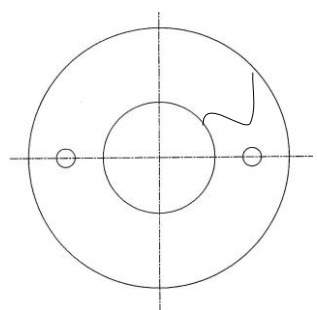
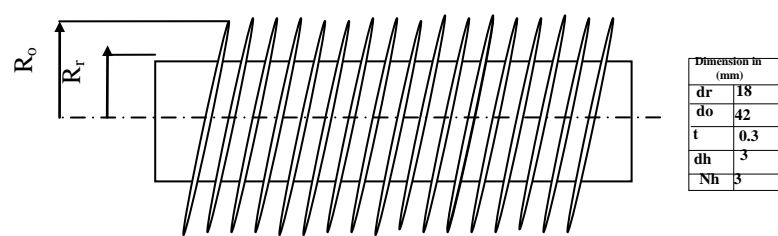
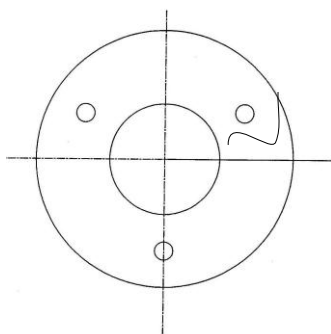
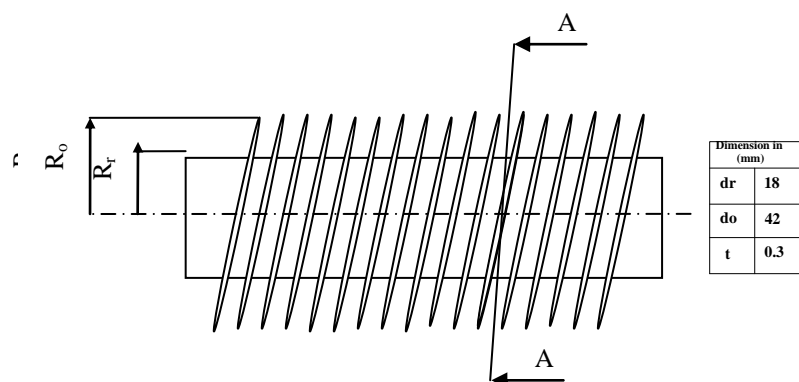
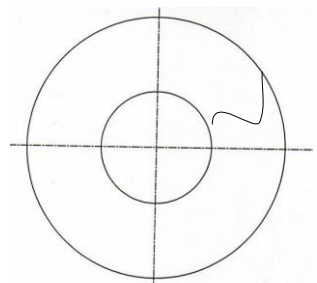
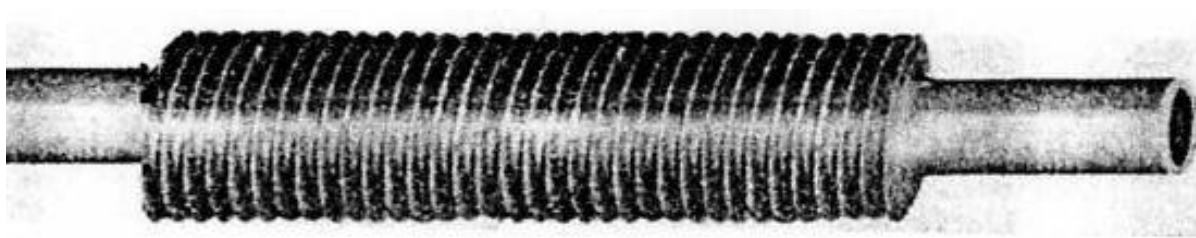
- 4- قطر ثابت للثقوب (3mm) تؤدي زيادة عدد الثقوب من (2) إلى (3) إلى تحسن معامل انتقال الحرارة الإجمالي بنسبة (7.8%) (7.5 m/s) لسرعة (%) بنسبة أعلى من تغير القطر حالة البحث .
- 5- زيادة عدد الثقوب تزيد من معامل انتقال الحرارة الإجمالي أكثر من زيادة قطر الثقوب لمساحة سطحية ثابتة للزعانف (الحالة البحث).

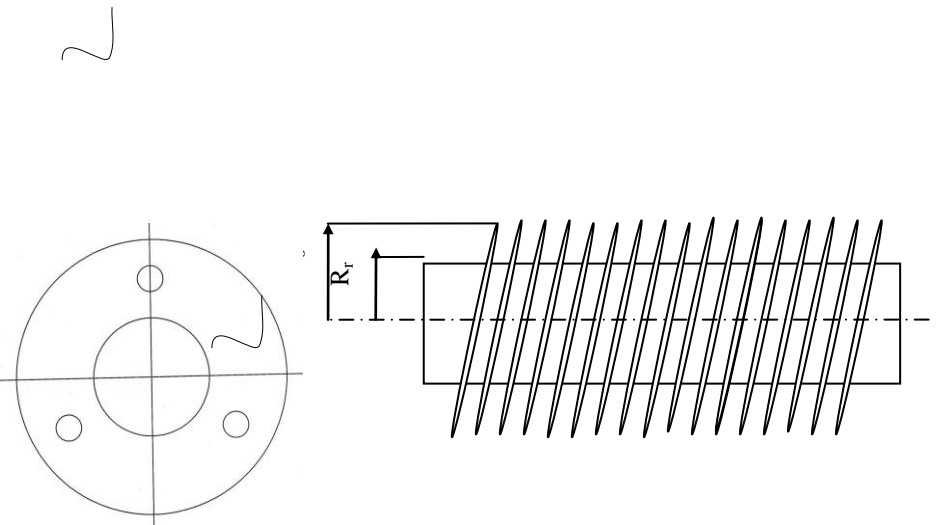


الشكل(1) يبين الجهاز الاختباري

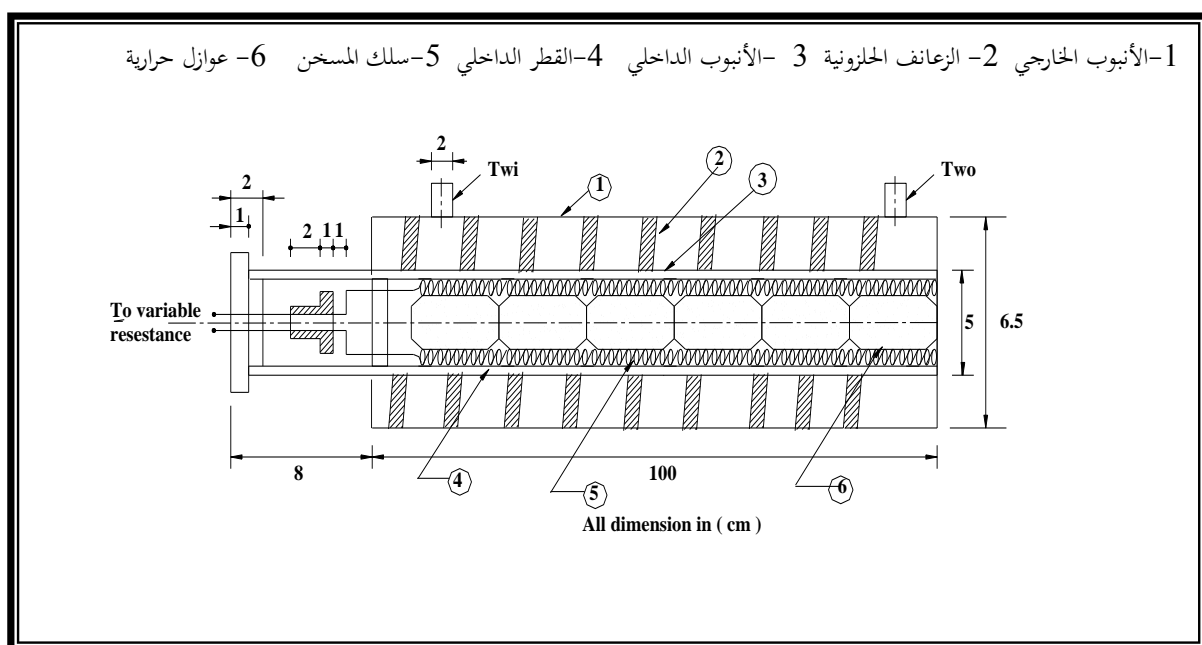
الشكل (2a) الانبوب الحلزوني المزعنف الغير مثقب

متوفّر على

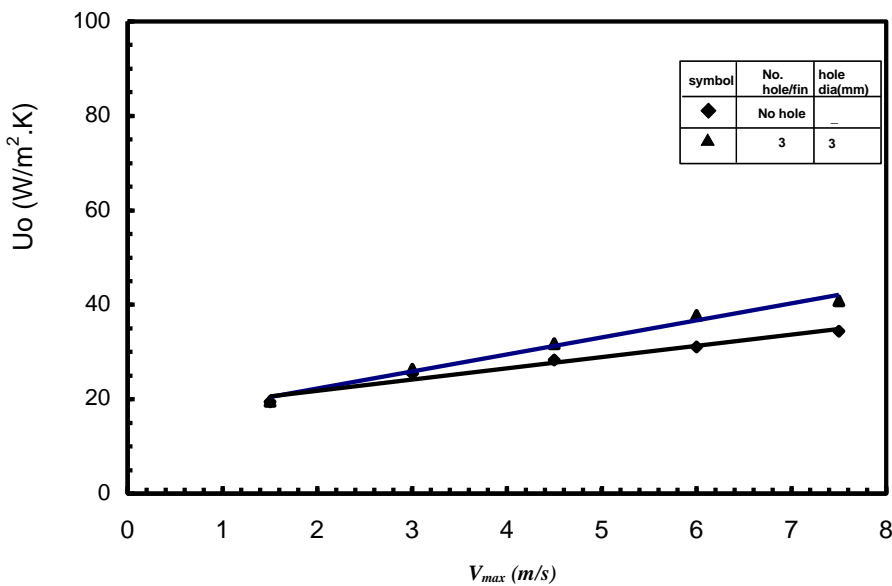




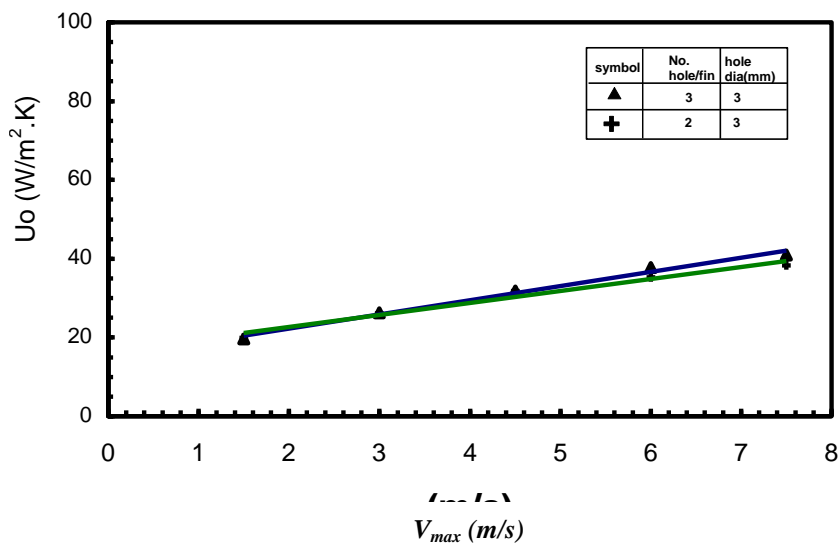
شكل(2) يبين ابعاد الزعانف والثقوب للأنابيب الخمسة



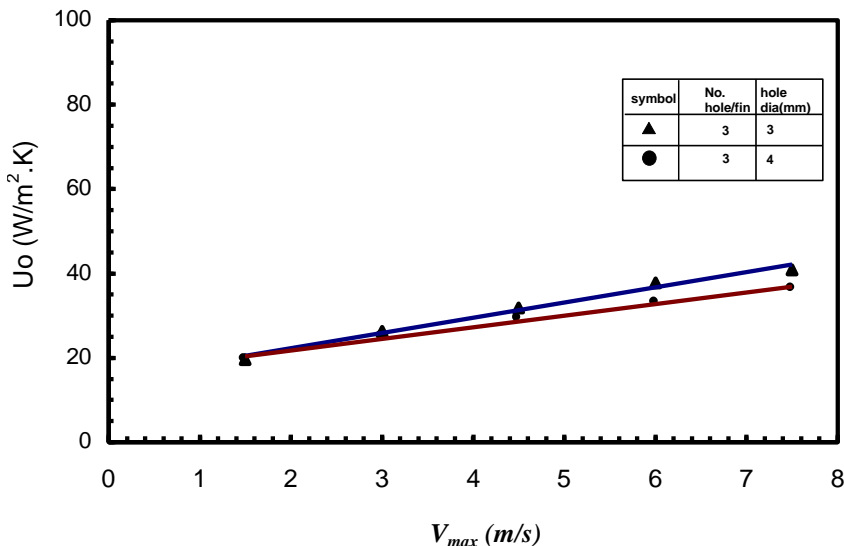
لشكل(3) المسخن الحراري



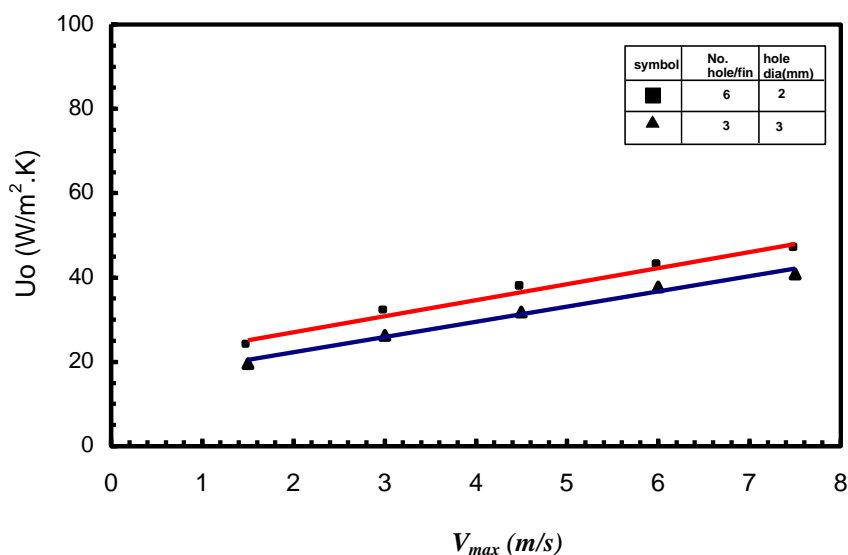
الشكل(4) مقارنة بين معامل انتقال الحرارة الإجمالي لأنبوب مزعنف حلزونيا(مثقب الزعانف وغير مثقب الزعانف) ولمدى من سرعة الهواء



الشكل(5) مقارنة بين معامل انتقال الحرارة الإجمالي لأنبوبين مزعنفين حلزونيا(مثقبين الزعانف بقطر ثقب ثابت وبعد متغير للثقب) ولمدى من سرعة الهواء

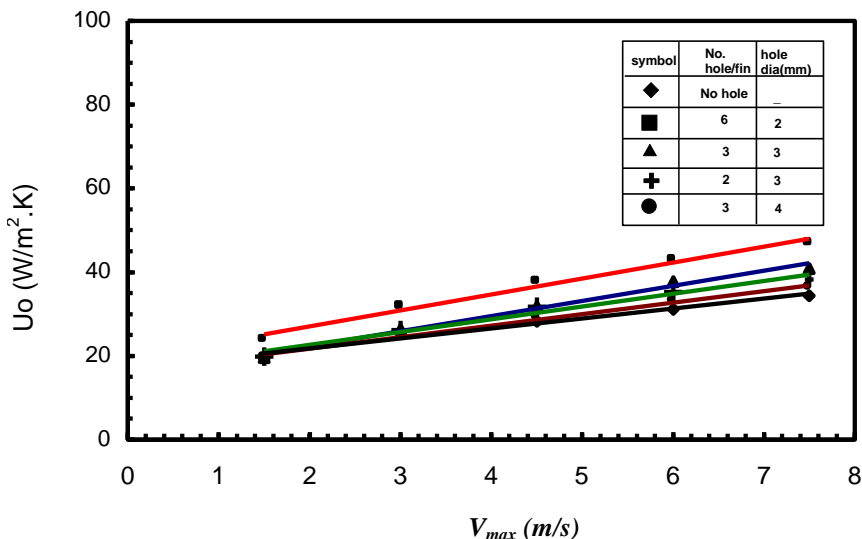


الشكل(6) مقارنة بين معامل انتقال الحرارة الإجمالي لأنبوبين مزعنفين حلزونيا((مثقبين الزعانف بقطر متغير للثقوب وبعدد ثابت) ولمدى من سرعة الهواء





الشكل(7) المقارنة بين معامل انتقال الحرارة الإجمالي لأنبوبين مزعنفين حلزونيا بزعانف ذا مساحة سطحية متساوية ولمدى من سرعة الهواء



الشكل(8) المقارنة بين معامل انتقال الحرارة الإجمالي لأنابيب

المدول(2) العلاقة التجريبية للأنبوب الخمس			
Tube No.	Nh	dh (mm)	U ₀ (W/m ² .K) V _{max} (m/s)
1	0	-	U ₀ = 2.3741V _{max} + 17.055
2	6	2	U ₀ = 3.8099 V _{max} + 19.39
3	3	3	U ₀ = 3.6043 V _{max} + 15.066
4	2	3	U ₀ = 3.0613 V _{max} + 16.521
5	3	4	U ₀ = 2.76 V _{max} + 16.2

REFERENCES

Abdullah ,H. Mousa EL-Eesa *Enhancement of thermal Performance of Fins Subjected to Natural Convection through Body perforation ,* PhD. Thesis, Mechanical engineering Department, University of Baghdad,Iraq,2000.

D.L.Katz, K.O. Beatty, JIR. and A.S Foust, "Heat Transter Through

**Tubes with Integral Spiral Fins ”.Transactions of ASME. Nov.,pp46-56
1945.**

Kakac,S.,et al. ,Heat exchangers: thermal and hydraulic fundamentals and design , Hemisphere Publishing Corp., New York,1981.

K.J.Bell and Dr.A.c .Mueller ,Wolverine Engineering Data , bookII,P-2, Wolverine tube Inc., Internet, 2001.

**N.V.Zozuly A,YU.P.VorobYev and A.A Khavin “ Effect of Flow Turbulization on Heat transfer in a finned tube boundle ”,
HeatTransfer Soviet Research , Vol.5, No.1, January– Fberuary, pp154-156,1973.**

قائمة الرموز

الرموز	المعنى	الوحدات
D	قطر الانبوب	mm
$\circ R$	قطر جذر الانبوب المزعنف	mm
Lf	ارتفاع الزعانف	mm
T	سمك الزعانف	mm
Dh	قطر الثقوب	Hole/fin
Nh	قطر الثقوب	$W/m^2 .K$
U	معامل انتقال الحرارة الإجمالي	$W/m^2 .K$
H	معامل انتقال الحرارة	$^{\circ}C ,K$
T	درجة الحرارة	m/s
V	السرعة	N/m^2
p	الضغط	kg/m^3
ρ	الكثافة	mm
H	الارتفاع	($m\ell$)
Vol	الحجم	W
Q	الحمل الحراري	K
LMTD	المتوسط اللوغاريتمي لدرجات الحرارة	

الرموز السفلية

a يدل على جانب للهواء



r	قطر جذر الانبوب المزعنف
wat	يدل على جانب للماء
w	يدل على الجدار
tot	يدل على الكلي
static	يدل على الاستاتيكي
max	يدل على القيمة العليا
o	يدل على للسطح الخارجي